

مطالعه بیومارکرهای هیستوپاتولوژیکی و روند زمانی ظهور آن‌ها در اندام‌های آبشنش، غده هاضمه و پا در دوکفه‌ای آب شیرین *Anodonta cygnea* در معرض با غلظت تحت‌کشنده فلز سنگین کروم (Cr)

فاتح معزی^{*} M.Sc.^۱، آرش جوانشیر Ph.D.^۲، سهیل ایگدری Ph.D.^۳، هادی پورباقر Ph.D.^۴

۱- دانش‌آموخته کارشناس ارشد، گروه شیلات، دانشکده منابع طبیعی، دانشگاه تهران.

۲- گروه شیلات، دانشکده منابع طبیعی، دانشگاه تهران.

* پست الکترونیک نویسنده مسئول: fmoezi.fateh@gmail.com

تاریخ پذیرش: ۱۳۹۲/۲/۲۴

تاریخ دریافت: ۱۳۹۱/۱۲/۱۳

چکیده

هدف: هدف از این مطالعه بررسی تغییرات هیستوپاتولوژیک و روند زمانی وقوع آن‌ها در معرض با فلز سنگین کروم در اندام‌های آبشنش، غده هاضمه و پا در دوکفه‌ای آب شیرین *Anodonta cygnea* بود.

مواد و روش‌ها: ۲۴ عدد دوکفه‌ای با دامنه طولی (۱۲/۷ تا ۱۳/۳ سانتی‌متر) از منطقه سمسکنده ساری برداشت گردید. در آزمایشگاه دوکفه‌ای‌ها با غلظت $1^{-1} \mu\text{g}$ ۱۸ روز برای مدت ۱۸ روز در معرض فلز کروم قرار گرفتند. در روزهای ۹، ۱۸ و ۲۴ از دوکفه‌ای‌ها جهت بهدست آوردن توده‌های بافتی از اندام‌های مورد مطالعه، نمونه‌برداری شد. برش‌های بافتی از نمونه‌های در معرض فلز و شاهد تهیه گردید و با روش هماتوکسیلین-ائوزین (H&E) رنگ آمیزی شدند.

نتایج: وضعیت هیستولوژیک در هر سه اندام مورد مطالعه در مقایسه با نمونه‌های شاهد، تغییرات قابل توجهی را نشان داد. در آبشنش هیپوپلازی، تغییرات شکلی و اندازه‌ای تیغه‌های آبشنشی، گرانولوما، هیپرپلازی و آتروفی کانال‌های همولنفی مشاهده گردید. در غده هاضمه آتروفی توبول‌های گوارشی، ریزش سلول‌های گوارشی و بازوپلیل به درون توبول‌ها و همچنین تجمع هموسیت‌ها و گرانولوما در بافت پیوندی مشاهده گردید. در پا هیپوپلازی اپی‌تلیوم بیرونی، افزایش تعداد سلول‌های موکوسی و تورم و گسستگی بافتی در ساختار دسته‌های میوسیت مشاهده گردید. اولین علائم تغییر در روز چهارم ثبت و با افزایش مدت زمان معرض، ظهور علائم جدیدتر و افزایش گستره تغییرات هیستوپاتولوژیک در هر سه اندام دیده شد.

نتیجه‌گیری: تغییرات هیستوپاتولوژیکی در اندام‌های دوکفه‌ای *Anodonta cygnea* به عنوان بیومارکرهای هیستوپاتولوژیکی بسیار مناسبی جهت پایش اثرات این فلز در محیط آبی پیشنهاد می‌شود و روند زمانی ظهور تغییرات، دقت این شاخص‌ها را افزایش می‌دهد.

وازگان کلیدی: هیستوپاتولوژی، *Anodonta cygnea*، کروم، اندام‌های داخلی

انحطاطی (degenerative)، تخریبی (destructive) و التهابی (inflammatory) در ارزیابی وضعیت شکلی-عمل کردن بافت‌ها و اندام‌های مختلف دوکفه‌ای‌ها در معرض قرارگیری با فلزات سنگین بوده است (۷، ۱۰-۱۳).

در این مطالعه، اثرات هیستوپاتولوژیکی معرض قرارگیری با فلزات سنگین و الگوی زمانی پیدایش آن‌ها در سه اندام آبیش، غده هاضمه و پا در دوکفه‌ای آب شیرین *Anodonta cygnea* مورد بررسی قرار گرفت. این دوکفه‌ای از بی‌مهرگان ساکن در رودخانه‌ها و تالاب‌های شمال کشور است که پراکنش گسترده‌ای در خارج از ایران نیز دارد. از آنجا که در منابع متعدد اثرات اختصاصی هیستوپاتولوژیک برای عناصر سنگین مختلف ذکر نشده است (۷)، همچنین با توجه به این‌که، در میان فلزات سنگین، فلز کروم سطوح آلایندگی بالاتری را در آب‌های شیرین به وجود آورده است (۱۴)، لذا در این مطالعه فلز کروم به عنوان عامل آلایندگی انتخاب گردید.

مواد و روش‌ها

جمع‌آوری نمونه‌های دوکفه‌ای و شرایط نگهداری در آزمایشگاه: در آذرماه ۱۳۹۰، ۳۰ نمونه از دوکفه‌ای *A. cygnea* با دامنه طولی (۱۲/۷ تا ۱۳/۳ سانتی‌متر) از مصب رودخانه تجن، منطقه سمسکنده ساری در استان مازندران (۳۶°۴۸'۴۶''N، ۵۳°۰'۵۷''E) برداشت شد. این نمونه‌ها پس از انتقال به آزمایشگاه بیولوژی آبزیان گروه شیلات دانشکده منابع طبیعی دانشگاه تهران، جهت تطابق با شرایط آزمایشگاهی به مدت ۲ هفته در تانک‌های فایبر‌گلاس نگهداری شدند. شرایط مخازن آزمایشی در طول دوره مطالعه ثابت نگه داشته شد به‌طوری که دامنه تغییرات دما و pH به ترتیب عبارت بود از ۱۵ تا ۱۷ درجه‌سانسی گراد و ۶/۸ تا ۷/۴.

پلان مواجهه با فلز کروم: پس از دوره تطابق، ۲۴ نمونه از دوکفه‌ای‌ها در ۴ تانک تقسیم شدند (سه مخزن آزمایشی و یک مخزن شاهد). با توجه به غلظت‌های طبیعی فلز کروم و غلظت‌های مورد استفاده آن در مطالعات پیشین (۵۱)، در این مطالعه غلظت 521 mg l^{-1} جهت معرض قرارگیری استفاده شد. در روزهای ۹، ۴ و ۸۱ پس از معرض قرارگیری دوکفه‌ای‌ها با فلز کروم، از مخازن نمونه‌گیری شد به طوری که در مجموع در هر بار نمونه‌برداری حداقل ۳ نمونه از دوکفه‌ای‌ها جهت استفاده توده‌های بافتی برداشت شد.

مقدمه

فلزات سنگین یک اصطلاح عام برای گروهی از عناصر فلزی است که چگالی آن‌ها بیش از 3 g cm^{-3} است که در غلظت‌های کم دارای اثرات بیولوژیکی تعریف شده بوده و زمانی که در غلظت‌های بالاتر از سطوح فیزیولوژیکی قابل تحمل در سلول‌ها وجود داشته باشند، می‌توانند اثرات سمی اعمال نمایند (۱). این عناصر از آلایندگی‌های بسیار مهم محیط‌های آبی هستند که پیامدهای نامطلوبی بر جوامع زنده این زیستگاه‌ها دارند (۲ و ۳). فعالیت‌های انسانی یکی از منشاها اصلی ورود این آلایندگه‌ها به پیکره‌های آبی است (۴).

در دهه‌های اخیر گروه‌های مختلف موجودات زنده به‌طور گسترده جهت بررسی وقوع آلودگی‌های شیمیایی در محیط‌های طبیعی مورد استفاده قرار گرفته‌اند. دوکفه‌ای‌ها، گروهی از نرم-تنان هستند که مطلوبیت بسیار بالایی جهت استفاده به عنوان بیواندیکاتورهای آلودگی در محیط‌های آبی دارند (۵). با توجه به این که این موجودات در تماس مستقیم با بخش‌های آلوده شده زیستگاه‌های آبی (رسوبات و آب) هستند و می‌توانند سطوح شواهد مناسبی را در رابطه با وقوع آلودگی‌های محیطی با مقیاس زمانی از طریق بررسی پاسخ‌های سلولی و فیزیولوژیکی فراهم می‌سازند (۶).

در میان طیف گسترده شاخص‌های زیستی مورد استفاده در ارزیابی اثرات آلایندگه‌ها، تغییرات هیستوپاتولوژیکی به عنوان ابزارهایی مناسب جهت پایش آلودگی پیشنهاد شده‌اند (۷). سلول‌ها نخستین محل‌های برهم‌کنش مواد شیمیایی و سیستم‌های بیولوژیکی هستند (۸). تفاوت‌های موجود در فرایندهای بیوشیمیایی در اندامک‌های مختلف سلول، محل اثر مواد سمی را تعیین می‌کند و تفکیک مکانی انواع سلول‌ها در بافت‌های مختلف مشخص می‌سازد که چه بافتی بیشتر تحت تاثیر یک عامل سمی قرار گرفته یا این که بیشترین پاسخ‌دهی را به آسیب عامل سمتی‌زا داشته است. تعیین پاسخ‌های هیستوپاتولوژیکی سبیتا آسان بوده و می‌توان آن‌ها را به سلامت و شایستگی افراد در جوامع اکولوژیک نسبت داد (۶). در معرض قرارگیری بلندمدت با فلزات سنگین میزان مستعد بودن نسبت به استرس‌های محیطی را افزایش داده و گسترش ناهنجاری‌های هیستوپاتولوژیک را در موجودات زنده در پی دارد (۹). مطالعات انجام شده در این زمینه بیانگر بروز تغییرات پاتولوژیکی

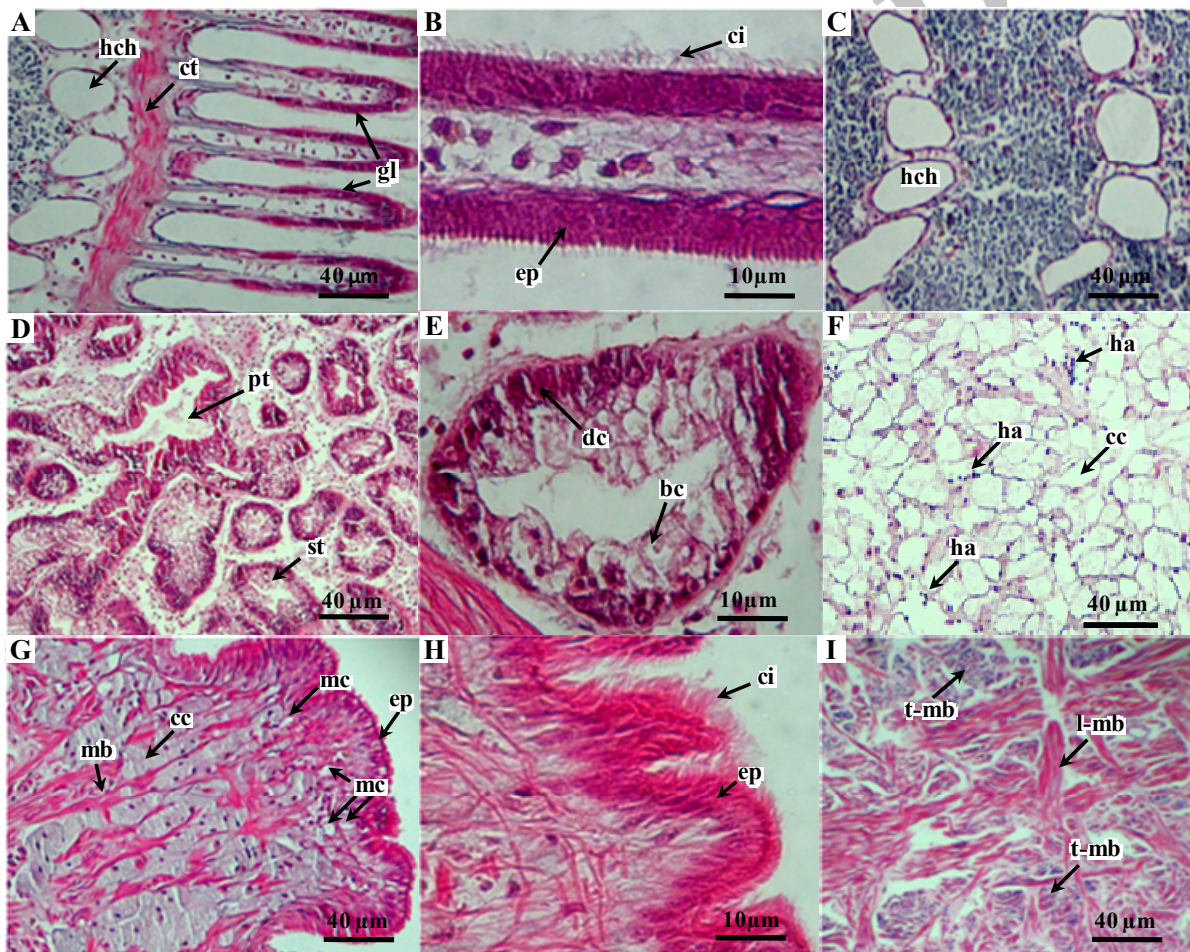
نتایج

وضعیت هیستولوژیک اندام‌های مورد مطالعه در نمونه‌های شاهد:

وضعیت هیستولوژیک اندام‌های مورد مطالعه در بافت‌های به دست آمده از نمونه‌های شاهد در شکل ۱ نشان داده شده است. در آبشنی ساختارهای تیغه‌های آبشنی با اندازه و شکل یکسان با فواصل نسبتاً برابر از هم مشاهده گردید (شکل ۱- A).

بافت‌شناسی: پوسته‌های دوکفه‌ای با استفاده از یک اسکالپل جهت بریدن عضلات جمع‌کننده قدامی و خلفی، باز شده و از بخش احتشایی جدا گردید. سپس توده‌ی بافتی با حجم تقریبی ۰/۵ سانتی‌متر مکعب از اندام‌های آبشنی، غده هاضمه و پا بریده شده و بهمنظور فیکس شدن به مدت ۴۸ ساعت در محلول بوئن (پیکریک اسید اشباع: ۷۵ بخش؛ فرمالدهید ۴۰ درصد: ۲۵ بخش؛ استیک اسید گلاسیال: ۵ بخش) و بهدنبال آن در اتانول ۷۰ درصد نگهداری گردید. مراحل آماده‌سازی و رنگ‌آمیزی هماتوکسیلین – ائوزین نمونه‌های بافتی بر اساس پروتکل

(۱۶) Hewitson and Darby انجام شد.



شکل ۱: برش‌های بافتی ۵ تا ۷ میکرونی از نمونه‌های شاهد اندام‌های آبشنی (G, H, I)، غده هاضمه (A, B, C) و پا (D, E, F). hch: کاتال همولنف، xt: بافت پیوندی، gl: تیغه آبشنی، ci: اپی‌تلیوم، ep: اپی‌گوارشی، st: توبول گوارشی اولیه، dc: توبول گوارشی، bc: سلول بازوپلیل، ha: هموسیت، cc: سلول پیوندی، mc: سلول موکوسی، mb: دسته میوست، t-mb: مقطع عرضی دسته میوست، l-mb: مقطع طولی دسته میوست. رنگ‌آمیزی: هماتوکسیلین-ائوزین.

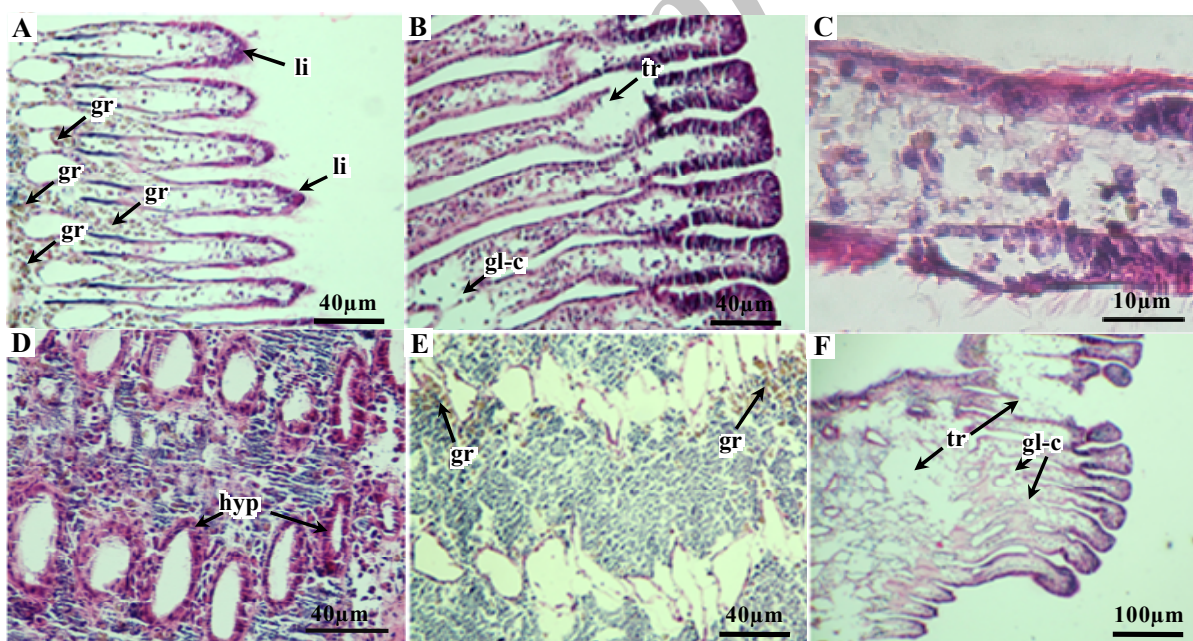
مشاهده گردید بهطوری که فواصل بینابینی آن‌ها را بافت پیوندی پر کرده بود (شکل ۱- C). در غده‌ی هاضمه، مقاطع عرضی توبول‌های گوارشی اولیه و انشعابات چندگانه‌ی آن به

ساختارهای مژه‌ای در اپی‌تلیوم یکپارچه تیغه‌های آبشنی به صورت کاملاً واضح دیده شد (شکل ۱- B) و در بخش‌های درونی این اندام، کاتال‌های همولنفی در یک الگوی ردیفی

مشاهده شد. پوسته پوسته شدن (*lifting*) و همچنین هیپوپلازی (تخرب ساختارهای مؤهای) در اپی‌تیلیوم تیغه‌ها رخ داده بود (شکل ۱- A و C) و در نتیجه آن گرزی شکل شدن تیغه‌ها و کاهش فضای بینابینی آن‌ها و همچنین تخریب دیواره تیغه‌ها و اتصال تیغه‌های مجاور در محل‌های تخریب مشاهده گردید (شکل ۲- B، C و F). دیواره کانال‌های همولنفی دچار هیپرپلازی شده و ضخامت آن افزایش یافته بود (شکل ۲- D) و با گذشت زمان تخریب‌های گسسته و آتروفی ساختار کانال دیده شد (شکل ۲- E). گرانولوما (ظهور سلول‌های دارای رنگدانه‌های لیبیدی به رنگ زرد تا قهوه‌ای روشن) در بافت‌های پیوندی بینابین کانال‌ها و همچنین در ناحیه‌ی پایه‌ی تیغه‌های آبششی رخ داده بود (شکل ۲- A و E). گسستگی‌های بافتی شدید در نواحی قشری (محل تیغه‌ها) و درونی (محل کانال‌های همولنفی) دیده شد (شکل ۲- F).

وضوح مشاهده گردید (شکل ۱- D) به طوری که سلول‌های گوارشی و بازوفیل تشکیل‌دهنده ساختار توبول‌ها قابل تشخیص بود (شکل ۱- E). فضای بینابین توبول‌ها نیز مشکل از سلول‌های بافت پیوندی بود که در میان آن‌ها هموسیت‌ها با پراکنش نامنظم و تعداد کم وجود داشتند (شکل ۱- F). بخش عمده‌ی بافت پا از دسته‌های متراکم و یکپارچه‌ی میوسیت تشکیل شده بود به طوری که در جهت‌های مختلف توزیع شده بودند و مقاطع عرضی و طولی آن‌ها در برش‌های بافتی مشاهده گردید (شکل ۱- G و I). اپی‌تیلیوم مؤه‌دار بیرونی این اندام نیز به‌طور کاملاً مشخص دیده شد که ساختاری چین خورده را نشان می‌داد (شکل ۱- H). همچنین در بخش‌های زیراپی‌تیلیال پا، سلول‌های بافت پیوندی فضای بینابین دسته‌های میوسیت را پر کرده بودند و در قسمت‌های نزدیک به اپی‌تیلیوم سلول‌های موکوسی نیز وجود داشتند (شکل ۱- G).

انواع تغییرات هیستوپاتولوژیک مشاهده شده در اندام‌ها:
در آبشنش تغییرات قابل توجهی در وضعیت هیستوپاتولوژیک تیغه‌ها



شکل ۲. برش‌های بافتی ۵ تا ۷ میکرونی آبشنش در نمونه‌های معرض با فلز کروم. A: گرانولوما (gr) و پوسته پوسته شدن (li) در ناحیه‌ی تیغه‌های آبششی؛ B: گرزی شکل شدن تیغه‌های آبششی و گسستگی دیواره تیغه‌ها (tr) و اتصال تیغه‌های مجاور (gl-c); C: هیپرپلازی و کاهش ضخامت اپی‌تیلیوم تیغه‌های آبششی؛ D: هیپرپلازی (hyp) و افزایش ضخامت اپی‌تیلیوم کانال‌های همولنفی؛ E: قوع گرانولوما (gr) در بافت پیوندی بینابین کانال‌ها و همچنین آتروفی کانال‌های همولنفی؛ F: تغییرات نامنظم در طول و شکل تیغه‌های آبششی و اتصال تیغه‌های مجاور (gl-c) و گسستگی بافتی در تیغه‌های آبششی و کانال‌های همولنفی. رنگ‌آمیزی: هماتوکسیلین-انوزین.

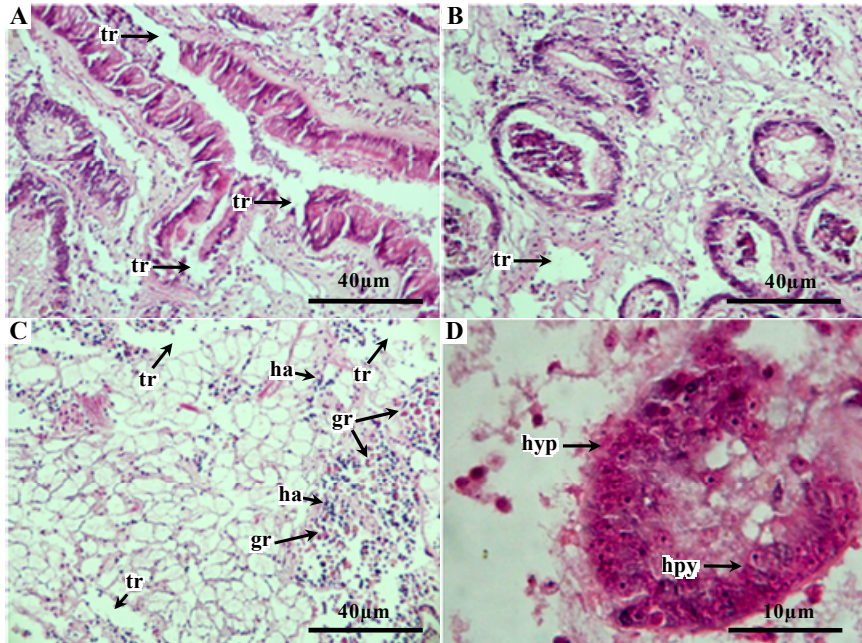
متراکم و تقریباً متراکم هموسیت‌ها به همراه گرانولوما مشاهده شد (شکل ۳- B و C). در انشعابات چندگانه‌ی توبول‌های گوارشی، ریزش سلول‌های بازوفیل و گوارشی به درون فضای

آشکارترین تغییر مشاهده شده در غده هاضمه، تخریب و گسستگی دیواره و آتروفی توبول‌های گوارشی بود (شکل ۳- A). در بافت پیوندی فضای بینابین توبول‌ها، گسستگی بافتی و تجمع

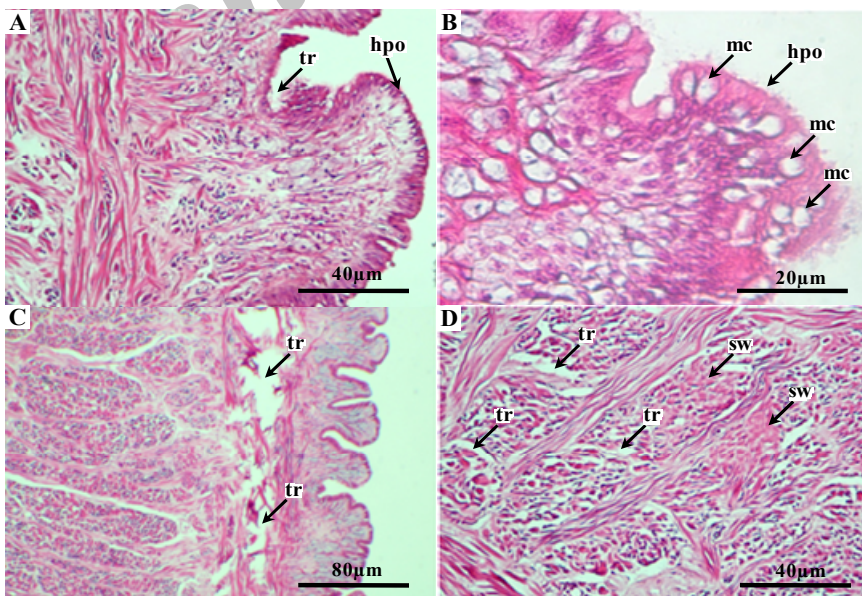
سلول‌های موکوسی در محل‌های اپی‌تیلیوم تخریب شده مشاهده گردید (شکل ۴-B). در بخش‌های درونی تر گسیستگی و اضمحلال دسته‌های میوسیت پراکنده شده در این اندام در مقایسه با وضعیت شاهد دیده شد (شکل ۴-C و D). همچنین تورم ابری میوسیت‌ها نیز رخ داده بود (شکل ۴-D).

توبول‌ها نیز به طور گستردگی رخ داده بود (شکل ۳-B). هیپرپلازی شدید در دیواره‌ی توبول‌های گوارشی (شکل ۳-D) هم دیده شد.

مشابه آبشن، هیپرپلازی و تخریب اپی‌تیلیوم بیرونی در پا نیز اتفاق افتاد (شکل ۴-A و B). در موارد بسیاری افزایش تعداد



شکل ۳: برش‌های بافتی ۵ تا ۷ میکرومتری از غده هاضمه در نمونه‌های در معرض با فلز کروم، A و B آتروفی و تغییرشکل در ساختار دیواره‌ی توبول‌های گوارشی و گسیستگی بافتی (tr) در بافت پیوندی بینابین توبول‌ها؛ C. گسیستگی بافتی (tr) در بافت پیوندی و تجمع متراکم هموسیت‌ها (ha) و قوع گرانولوما (gr)؛ D. هیپرپلازی (hyp) سلول‌های گوارشی توبول‌های گوارشی، رنگ‌آمیزی: همانتوکسیلین-ائوزین.



شکل ۴: برش‌های بافتی ۵ تا ۷ میکرومتری پا در نمونه‌های در معرض با فلز کروم، A: هیپرپلازی (tr) و گسیستگی (hpo) در ساختار اپی‌تیلیوم بیرونی؛ B: هیپرپلازی (hpo) و افزایش تعداد سلول‌های موکوسی (mc) در اپی‌تیلیوم بیرونی؛ C: گسیستگی بافتی (tr) در اپی‌تیلیوم بیرونی؛ D: میوسیت‌ها و گسیستگی بافتی (tr) در ساختار دسته‌های میوسیت در بخش‌های داخلی پا. رنگ‌آمیزی: همانتوکسیلین-ائوزین.

تأثیر قرار داده بودند. در روز نهم تغییرات شدیدتری مشاهده گردید که بدشکلی‌های ساختاری قابل توجهی را در هر سه اندام منجر شده بود. در روز هجدهم نیز علائم جدیدتری در دو اندام آبشنش و پا دیده شد که باز هم پیشرفت گستره تاثیر فلز کروم را نشان داد به طوری که بخش‌های درونی‌تر را درگیر کرده بود.

روند زمانی وقوع تغییرات هیستوپاتولوژیک:

روند زمانی ظهور انواع تغییرات هیستوپاتولوژیک مشاهده شده در اندام‌های مورد مطالعه در جدول ۱ آمده است. در روز چهارم، تغییرات هیستوپاتولوژیک ناشی از مواجهه با فلز کروم در هر سه اندام مشاهده شد به‌طوری که بخش‌های سطحی اندام‌ها را تحت

جدول ۱: ترتیب زمانی وقوع انواع مختلف تغییرات هیستوپاتولوژیک در اندام‌های مختلف در طول دوره‌ی مطالعه‌ی ۱۸ روزی.

اندام	زمان		
	روز چهارم	روز نهم	روز هجدهم
آبشنش	هیپوپلازی اپی‌تیلیوم تیغه‌های آبشنشی پوسته پوسته شدن اپی‌تیلیوم تیغه‌ها	گزی شکل شدن و تغییر طول تیغه‌ها کاهش فواصل بین تیغه‌ها	گستگی کانال‌ها و آتروفی آنها به هم چسبیدگی تیغه‌های مجاور در نقاط تخریب دیواره تیغه‌ها
	ریزش سلول‌های گوارشی و بازوفیل به فضای درونی توبول‌ها	تجمع هموسیت‌ها در بافت پیوندی بینایین توبول‌ها	هیپرپلازی کانال‌های همولنگی گرانولوما
	ریزش سلول‌های گوارشی و بازوفیل به فضای درونی توبول‌ها	آتروفی توبول‌های گوارشی تجمع هموسیت‌ها در بافت پیوندی بینایین توبول‌ها	تورم و گستگی در ساختار دسته‌های میوسیت
غده هاضمه	هیپوپلازی اپی‌تیلیوم افزایش تعداد سلول‌های موکوسی در لایه زیرایی تیلیال	گستگی بافتی در اپی‌تیلیوم و بخش‌های زیرایی تیلیال	گرانولومای گستردہ
پا	مشاهده شد. افزایش سلول‌های موکوسی در پا به احتمال زیاد در پاسخ به تخریب مژه‌های اپی‌تیلیوم و نقص فرآیند حرکتی این اندام رخ داده است. افزایش تعداد سلول‌های موکوسی پوششی در اویسترها در معرض با آلاینده‌های شیمیایی گزارش شده است (۲۳). تغییرات عمده‌ی هیستولوژیکی ناشی از حضور آلاینده‌ها در دوکفه‌ای‌ها به صورت فرم نامنظم سلول‌های گوارشی و بازوفیل و واکوئل‌ها ذکر گردیده است (۲۴). تغییر در اندازه میوسیت‌های موجود در گروه‌های میوسیت و همچنین تخریب ساختار گروهی میوسیت‌ها در بلوك‌های عضلانی عضلات جمع‌کننده در ماسل‌ها در نتیجه مواجهه با فلز مس مشاهده شده است (۲۵). در این مطالعه چنین تغییراتی در ساختارهای عضلانی پا مشاهده شد. ناهنجاری‌های شکلی در آبشنش و غده‌ی هاضمه نیز که در این مطالعه رخ داده بود، در مطالعات پیشین (۲۰، ۲۵، ۲۶، ۲۷ و ۲۸) گزارش شده است. وقوع گستگی بافتی در بافت‌های مختلف نیز در نتیجه در معرض قرارگیری با فلز سنگین گزارش شده است (۲۵).	بحث	مطالعات متعدد انجام شده تغییرات هیستوپاتولوژیکی ناشی در معرض قرارگیری با فلزات سنگین را به عنوان ساخته‌های مناسب جهت پایش اثرات آلودگی این عناصر بر موجودات زنده پیشنهاد کرده‌اند (۳، ۷، ۹، ۱۷). نتایج به‌دست آمده در این تحقیق نشان داد که در معرض قرارگیری با غلظت تحت کشندی فلز سنگین کروم در مدت ۱۸ روز تغییرات هیستوپاتولوژیکی قابل توجهی را در سه اندام آبشنش، غده‌ی هاضمه و پا به دنبال دارد. هر چند این سه اندام عمل کرده‌ای متفاوتی دارند (آبشنش: عمل کرد فیلتراسیونی؛ غده‌ی هاضمه: عمل کرد تغذیه‌ای و پا: عمل کرد حرکتی) (۱۸) و مسیرهای معرض قرارگیری با فلز در آن‌ها متفاوت است، اما در روز چهارم پس از معرض قرارگیری با فلز کروم تغییرات بافتی در هر سه اندام مشاهده گردید.

نتایج مطالعات پیشین در موارد زیادی همسو با نتایج به‌دست آمده در این پژوهش است. وقوع گرانولوما ناشی از جذب فلزات سنگین دانسته شده است (۱۹، ۲۰ و ۲۱). همچنین نفوذ و تجمع هموسیت‌ها، به عنوان یک پاسخ دفاعی در محل‌های آسیب دیده در بافت‌های مختلف بی‌مهرگان گزارش شده است (۲۲) که در مطالعه‌ی حاضر نیز چنین علائمی در آبشنش و غده‌ی هاضمه

7. Au DWT. The application of histopathological biomarkers in marine pollution monitoring: a review. *Mar. Pollut. Bull.* 2004; 18: 817-834.
8. Senger H, Braunbeck T. Cellular response profile to chemical stress. In: Schurmann, G., Braunbeck, T. (eds.). *Ecotoxicology*. New York. John Wiley & Sons. 1998; 521-569.
9. Zorita I, Ortiz-Zarragoitia M, Soto M, Cajaraville MP. Biomarkers in mussels from a copper site gradient (Visnes, Norway): An integrated biochemical, histochemical and histological study. *Aquat. Toxicol.* 2006; 78: 109-116.
10. Lowe FM. Alterations in cellular structure of *Mytilus edulis* resulting from exposure to environmental contaminants under field and experimental conditions. *Mar. Ecol. Prog. Ser.* 1988; 46: 91-100.
11. Cajaraville MP, Marigomez I, Diez G, Angulo E. Comparative effects of the water accommodated fractions (WAF) of tree oils and mussels. 2. Quantitative alterations in the structure of the digestive tubules. *Comp. Biochem. Physiol.* 1992; 102: 113-123.
12. Yevich P.P, Yevich C.A. Use of histopathology in biomonitoring marine invertebrates. In: Kramer, K.J.M. (eds.). *Coastal waters and estuaries*. 2th Ed. New York. CRC Press; 1994; 179-192.
13. Syasina IG, Vaschenko MA, Zhadan PM. Morphological alterations in the digestive diverticula of *Mizuhopecten yessoensis* (Bivalvia: Pectinidae) from polluted areas of Peter the Great Bay, Sea of Japan. *Mar. Environ. Res.* 1997; 44(1): 85-98.
14. WHO/IPCS. Environmental health criteria 221 for Zinc. World Health Organization, International Programme on Chemical Safety, Geneva. 2001; 123.
15. Naimo, TJ. A review of the effects of heavy metals on freshwater mussels. *Ecotox.* 1995; 4(6): 341-362.
16. Hewitson, T.D., Darby, I.A. *Histology protocols*. 1th Ed. New York. Humana Press Inc. 2010.
17. Golovanova, I.L. Effects of heavy metals on the physiological and biochemical status of fishes and aquatic invertebrates. *Aquat. Toxicol.* 2008; 1: 93-101.
18. Gosling, E. *Bivalve molluscs: biology, ecology and culture*. Fishing new books. 1th Ed. New Jersey, Hoboken. Blackwell Science. 2003.
19. Johansson MW, Soderhäll K. Cellular defense and cell adhesion in crustaceans. *Anim. Biol.* 1992; 1: 97-107.

به تدریج با افزایش دوره معرض گذاری، علائم مشاهده شده نشان دهنده افزایش گستره و شدت آسیب‌ها در اندام‌های مورد مطالعه بود. در مطالعات پیشین (۲۴، ۲۶ و ۲۷) دوره‌های زمانی مواجهه با فلزات سنگین و سایر آلاینده‌ها بیش از ۱۰ روز بوده است و تغییرات هیستوپاتولوژیک پس از اتمام دوره مورد بررسی قرار گرفته‌اند، اما در این مطالعه زمان‌های ظهور علائم به صورت مشخص در دفعات مختلف در طول دوره مطالعه‌ی ۱۸ روزی پس از معرض قرارگیری تعیین گردید و اولین زمان روز چهارم بود. این الگوی به دست آمده می‌تواند در پایش‌های محیطی بسیار مفید باشد.

نتیجه‌گیری

در مجموع با توجه به نتایج به دست آمده در این مطالعه احتمالاً می‌توان تغییرات هیستوپاتولوژیکی در سه اندام آبشش، غده هاضمه و پا در دوکفه‌ای آب شیرین *Anodonta cygnea* را به عنوان بیومارکرهای در رابطه با در معرض قرار گیری با فلز سنگین کروم به عنوان نمونه‌ای از آلاینده‌های فلزی سنگین مورد استفاده قرار داد. همچنین روند زمانی مشاهده شده در ظهور این بیومارکرهای هیستوپاتولوژیک، سودمندی آن‌ها را جهت تعیین دقیق‌تر اثرات آلودگی دوچندان می‌سازد.

منابع

1. Banfalvi, G. *Cellular effects of heavy metals*. 1th Ed. London, U.K. Springer. 2011.
2. Forstner, U, Wittman, G.T. *Marine pollution in the aquatic environment*. 2th Ed. Berlin. Springer; 1983.
3. Rainbow PS. Trace metal concentrations in aquatic invertebrates: why and so what? *Environ. Pollut.* 2002; 120(3): 497-507.
4. Buhl KJ, Hamilton SJ. Comparative toxicity of inorganic contaminants related by placer mining to early life stages of salmonids. *Ecotox. Environ. Safe.* 1990; 20(3): 325-342.
5. Livingstone DR, Chipman JK, Lowe DM, Minier C, et al. Development of biomarkers to detect the effects of organic pollution on aquatic invertebrates: recent immunological studies on the common mussel (*Mytilus edulis* L.) and other mytilids. *Int. j. Environ. Pollut.* 2000; 13: 1-6.
6. Van Duren LA, Herman PMJ, Sandee AJJ, Heip CHR. Effects of muscle filtering activity on boundary layer structure. *J. Sea Res.* 2006; 55: 3-14.

20. Usheva LN, Vaschenko VB, Durkina VB. Histopathology of digestive gland of bivalve mollusc *Crenomytilus graganus* (Dunker, 1853) from southwestern Peter the Great Bay, Sea of Japan. Russ. j. mar. boil. 2006; 32(3): 166-172.
21. Chakraborty S, Ray M, Ray S. Arsenic toxicity: A heart-breaking saga of a freshwater mollusc. *Tissue Cell.* 2012; 44(3): 151-155.
22. Oliver, LM, Fisher WS. Appraisal of prospective bivalve immunomarkers. *Biomarkers.* 1999; 4(6): 510-530.
23. Watterman B, Thomsen A, Kolodzy H, Daehne B, et al. Histopathological lesions of molluscs in the harbor of Norderney, Lower Saxony, North Sea (Germany). *Helgol. Mar. Res.* 2008; 62: 167-175.
24. Tripp M.R, Fries C.R. histopathology and histochemistry. In: Giam, C.S., Ray, L.E. (eds.). Pollutant studies in marine animals. 3th Ed. Boca Raton. CRC Press Inc; 1987; 337-324.
25. Al-Subiai Sh N, Moody AJ, Mustafa SA, Jha AN. A multiple biomarker approach to investigate the effects of copper on the marine bivalve mollusc, *Mytilus edulis*. *Ecotox. Environ. Safe.* 2011; 74: 1913-1920.
26. Chakraborty S, Ray M, Ray S. Toxicity of sodium arsenite in the gill of an economically important mollusc of India. *Fish. Shellfish. Immune.* 2010; 29(1): 136-146.
27. Sheir SK, Handy RD. Tissue injury and cellular immune responses to cadmium chloride exposure in the common mussel *Mytilus edulis*: modulation by lipopolysaccharide. *Arch. Environ. Contam. Toxicol.* 2010; 59: 602-813.
28. Sheir SK, Handy RD, Galloway TS. Tissue injury and cellular immune responses to mercuric chloride exposure in the common mussel *Mytilus edulis*: modulation by lipopolysaccharide. *Ecotox. Environ. Safe.* 2010; 73: 1338-1344.

Study of Histopathological Biomarkers and Their Incidence Time Pattern in Gill, Digestive Gland and Foot in Freshwater Bivalve, *Anodonta cygnea*, in Exposure to Sublethal Concentration of Chromium (Cr)

Moëzzi F. M.Sc.^{1*}, Javanshir A. Ph.D.², Eagderi S. Ph.D.², Poorbagher H. Ph.D.²

1. M.Sc. Graduated Student, Department of Fisheries, Faculty of Natural resources, University of Tehran

2. Department of Fisheries, Faculty of Natural Resources, University of Tehran

* Email corresponding author: fmoezi.fateh@gmail.com

Received: 3 Mar. 2013

Accepted: 14 May. 2013

Abstract

Aim: The aim of this study was to investigate histopathological alterations and their incidence time pattern due to chromium (Cr) exposure during 18 days in gill, digestive gland and foot in freshwater bivalve, *Anodonta cygnea*.

Material and Methods: 24 bivalve specimens with length range of 12.7-13.3 cm were collected from Semeskandeh region, Sari. They were exposed to 125 µg l⁻¹ of Cr for 18 days. Bivalves were sampled in days 4, 9 and 18 for obtaining tissue samples of studied organs. Tissue sections of exposed and control group samples were prepared and staining was done using haematoxylin and eosin (H&E) method.

Results: Histology of all of three studied organs of exposed bivalves in comparison with control group showed significant histopathological changes. Hypoplasia and changes in shape and size of gill lamellae, granuloma, hyperplasia and atrophy of haemolymph channels were observed. In digestive gland, atrophy of digestive tubules, loss of digestive and basophilic cells from tubules, and haemocyte aggregation and granuloma in connective tissue were occurred. Hypoplasia of external epithelium, increase of mucus cells, and swelling and tissue rapture in myocyte blocks were observed in foot. Primary signs of histopathological alteration were appeared in fourth day, and in following days appearance of new signs and expansion of affected area was detected in all of investigated organs.

Conclusion: Based on our results, histological changes due to Cr exposure in studied organs in *A. cygnea* are proposed as appropriate histopathological biomarkers to monitoring Cr levels in aquatic environments and their incidence time pattern can increase fidelity of these indices.

Keywords: Histopathology, *Anodonta cygnea*, Chromium, Internal organs